

Starkniederschlagshöhen und -spenden gemäß KOSTRA-DWD-2020

Rasterfeld 76173

(Zeile 76, Spalte 173)

Regenspende und Bemessungsniederschlagswerte in Abhängigkeit von Wiederkehrzeit T und Dauerstufe D

| Dauerstufe D | | Wiederkehrzeit T | | | | | | | | | | | | | | | | | |
|--------------|-----|------------------|------------|------|------------|------|------------|------|------------|------|------------|------|------------|-------|------------|-------|------------|-------|------------|
| | | 1 a | | 2 a | | 3 a | | 5 a | | 10 a | | 20 a | | 30 a | | 50 a | | 100 a | |
| min | Std | mm | l / (s ha) | mm | l / (s ha) | mm | l / (s ha) | mm | l / (s ha) | mm | l / (s ha) | mm | l / (s ha) | mm | l / (s ha) | mm | l / (s ha) | mm | l / (s ha) |
| 5 | | 5,9 | 196,7 | 7,3 | 243,3 | 8,1 | 270,0 | 9,3 | 310,0 | 10,9 | 363,3 | 12,6 | 420,0 | 13,7 | 456,7 | 15,1 | 503,3 | 17,2 | 573,3 |
| 10 | | 7,9 | 131,7 | 9,8 | 163,3 | 10,9 | 181,7 | 12,5 | 208,3 | 14,6 | 243,3 | 16,9 | 281,7 | 18,4 | 306,7 | 20,3 | 338,3 | 23,1 | 385,0 |
| 15 | | 9,1 | 101,1 | 11,3 | 125,6 | 12,6 | 140,0 | 14,4 | 160,0 | 16,9 | 187,8 | 19,5 | 216,7 | 21,2 | 235,6 | 23,5 | 261,1 | 26,7 | 296,7 |
| 20 | | 10,0 | 83,3 | 12,4 | 103,3 | 13,8 | 115,0 | 15,8 | 131,7 | 18,6 | 155,0 | 21,4 | 178,3 | 23,3 | 194,2 | 25,8 | 215,0 | 29,3 | 244,2 |
| 30 | | 11,3 | 62,8 | 14,0 | 77,8 | 15,6 | 86,7 | 17,8 | 98,9 | 20,9 | 116,1 | 24,1 | 133,9 | 26,3 | 146,1 | 29,0 | 161,1 | 33,0 | 183,3 |
| 45 | | 12,6 | 46,7 | 15,6 | 57,8 | 17,4 | 64,4 | 19,9 | 73,7 | 23,4 | 86,7 | 27,0 | 100,0 | 29,3 | 108,5 | 32,4 | 120,0 | 36,9 | 136,7 |
| 60 | 1 | 13,6 | 37,8 | 16,8 | 46,7 | 18,8 | 52,2 | 21,4 | 59,4 | 25,2 | 70,0 | 29,1 | 80,8 | 31,6 | 87,8 | 34,9 | 96,9 | 39,7 | 110,3 |
| 90 | 1,5 | 15,0 | 27,8 | 18,6 | 34,4 | 20,8 | 38,5 | 23,7 | 43,9 | 27,9 | 51,7 | 32,2 | 59,6 | 35,0 | 64,8 | 38,7 | 71,7 | 44,0 | 81,5 |
| 120 | 2 | 16,1 | 22,4 | 19,9 | 27,6 | 22,3 | 31,0 | 25,4 | 35,3 | 29,9 | 41,5 | 34,5 | 47,9 | 37,5 | 52,1 | 41,5 | 57,6 | 47,1 | 65,4 |
| 180 | 3 | 17,7 | 16,4 | 21,9 | 20,3 | 24,5 | 22,7 | 27,9 | 25,8 | 32,9 | 30,5 | 37,9 | 35,1 | 41,3 | 38,2 | 45,6 | 42,2 | 51,9 | 48,1 |
| 240 | 4 | 19,0 | 13,2 | 23,4 | 16,3 | 26,2 | 18,2 | 29,9 | 20,8 | 35,1 | 24,4 | 40,6 | 28,2 | 44,1 | 30,6 | 48,8 | 33,9 | 55,5 | 38,5 |
| 360 | 6 | 20,8 | 9,6 | 25,7 | 11,9 | 28,8 | 13,3 | 32,8 | 15,2 | 38,6 | 17,9 | 44,5 | 20,6 | 48,4 | 22,4 | 53,6 | 24,8 | 60,9 | 28,2 |
| 540 | 9 | 22,8 | 7,0 | 28,2 | 8,7 | 31,6 | 9,8 | 36,0 | 11,1 | 42,3 | 13,1 | 48,9 | 15,1 | 53,1 | 16,4 | 58,7 | 18,1 | 66,8 | 20,6 |
| 720 | 12 | 24,4 | 5,6 | 30,1 | 7,0 | 33,7 | 7,8 | 38,4 | 8,9 | 45,2 | 10,5 | 52,1 | 12,1 | 56,7 | 13,1 | 62,7 | 14,5 | 71,3 | 16,5 |
| 1080 | 18 | 26,7 | 4,1 | 33,0 | 5,1 | 36,9 | 5,7 | 42,1 | 6,5 | 49,5 | 7,6 | 57,1 | 8,8 | 62,2 | 9,6 | 68,7 | 10,6 | 78,1 | 12,1 |
| 1440 | 24 | 28,5 | 3,3 | 35,2 | 4,1 | 39,4 | 4,6 | 44,9 | 5,2 | 52,8 | 6,1 | 61,0 | 7,1 | 66,3 | 7,7 | 73,3 | 8,5 | 83,3 | 9,6 |
| 2880 | 48 | 33,3 | 1,9 | 41,2 | 2,4 | 46,1 | 2,7 | 52,5 | 3,0 | 61,7 | 3,6 | 71,2 | 4,1 | 77,5 | 4,5 | 85,7 | 5,0 | 97,4 | 5,6 |
| 4320 | 72 | 36,5 | 1,4 | 45,1 | 1,7 | 50,4 | 1,9 | 57,5 | 2,2 | 67,6 | 2,6 | 78,0 | 3,0 | 84,8 | 3,3 | 93,8 | 3,6 | 106,6 | 4,1 |
| 5760 | 96 | 38,9 | 1,1 | 48,1 | 1,4 | 53,8 | 1,6 | 61,3 | 1,8 | 72,1 | 2,1 | 83,2 | 2,4 | 90,5 | 2,6 | 100,0 | 2,9 | 113,7 | 3,3 |
| 7200 | 120 | 40,9 | 0,9 | 50,6 | 1,2 | 56,5 | 1,3 | 64,4 | 1,5 | 75,8 | 1,8 | 87,5 | 2,0 | 95,1 | 2,2 | 105,2 | 2,4 | 119,6 | 2,8 |
| 8640 | 144 | 42,6 | 0,8 | 52,7 | 1,0 | 58,9 | 1,1 | 67,1 | 1,3 | 78,9 | 1,5 | 91,1 | 1,8 | 99,1 | 1,9 | 109,5 | 2,1 | 124,5 | 2,4 |
| 10080 | 168 | 44,1 | 0,7 | 54,5 | 0,9 | 61,0 | 1,0 | 69,5 | 1,1 | 81,7 | 1,4 | 94,3 | 1,6 | 102,6 | 1,7 | 113,4 | 1,9 | 128,9 | 2,1 |

Starkniederschlagshöhen und -spenden gemäß KOSTRA-DWD-2020

Rasterfeld 76173

(Zeile 76, Spalte 173)

Örtliche Unsicherheiten in Abhängigkeit von Wiederkehrzeit T und Dauerstufe D

| Dauerstufe D | | Wiederkehrzeit T | | | | | | | | |
|--------------|-----|------------------|-----|-----|-----|------|------|------|------|-------|
| | | 1 a | 2 a | 3 a | 5 a | 10 a | 20 a | 30 a | 50 a | 100 a |
| min | Std | ± % | ± % | ± % | ± % | ± % | ± % | ± % | ± % | ± % |
| 5 | | 13 | 12 | 11 | 11 | 11 | 12 | 12 | 12 | 12 |
| 10 | | 9 | 11 | 11 | 12 | 13 | 14 | 15 | 15 | 16 |
| 15 | | 11 | 12 | 14 | 15 | 16 | 17 | 17 | 18 | 19 |
| 20 | | 12 | 14 | 15 | 16 | 17 | 18 | 19 | 19 | 20 |
| 30 | | 13 | 15 | 16 | 18 | 19 | 20 | 21 | 21 | 22 |
| 45 | | 14 | 16 | 17 | 19 | 20 | 21 | 22 | 22 | 23 |
| 60 | 1 | 14 | 16 | 18 | 19 | 20 | 21 | 22 | 23 | 23 |
| 90 | 1,5 | 14 | 16 | 17 | 19 | 20 | 21 | 22 | 22 | 23 |
| 120 | 2 | 13 | 16 | 17 | 18 | 20 | 21 | 22 | 22 | 23 |
| 180 | 3 | 13 | 15 | 16 | 18 | 19 | 20 | 21 | 21 | 22 |
| 240 | 4 | 12 | 15 | 16 | 17 | 19 | 20 | 20 | 21 | 22 |
| 360 | 6 | 12 | 14 | 15 | 16 | 18 | 19 | 19 | 20 | 21 |
| 540 | 9 | 11 | 13 | 14 | 15 | 17 | 18 | 18 | 19 | 20 |
| 720 | 12 | 11 | 13 | 14 | 15 | 16 | 17 | 18 | 18 | 19 |
| 1080 | 18 | 11 | 12 | 13 | 14 | 15 | 16 | 17 | 17 | 18 |
| 1440 | 24 | 11 | 12 | 13 | 14 | 15 | 16 | 16 | 17 | 17 |
| 2880 | 48 | 12 | 12 | 13 | 13 | 14 | 15 | 15 | 16 | 16 |
| 4320 | 72 | 13 | 13 | 13 | 13 | 14 | 15 | 15 | 15 | 16 |
| 5760 | 96 | 13 | 13 | 13 | 14 | 14 | 15 | 15 | 15 | 16 |
| 7200 | 120 | 14 | 14 | 14 | 14 | 14 | 15 | 15 | 15 | 16 |
| 8640 | 144 | 15 | 14 | 14 | 14 | 15 | 15 | 15 | 15 | 16 |
| 10080 | 168 | 15 | 15 | 15 | 15 | 15 | 15 | 15 | 16 | 16 |

Parameter für abweichende T und D

Lokationsparameter ξ (Xi)

14,02826298

Skalenparameter α (Alpha)

4,61917425

Formparameter κ (Kappa)

-0,1

1. Koutsoyiannis-Parameter θ (Theta)

0,04163081

2. Koutsoyiannis-Parameter η (Eta)

0,77645209

Parameter für dauerstufenübergreifende Extremwertschätzung nach KOUTSOYIANNIS et al. 1998.

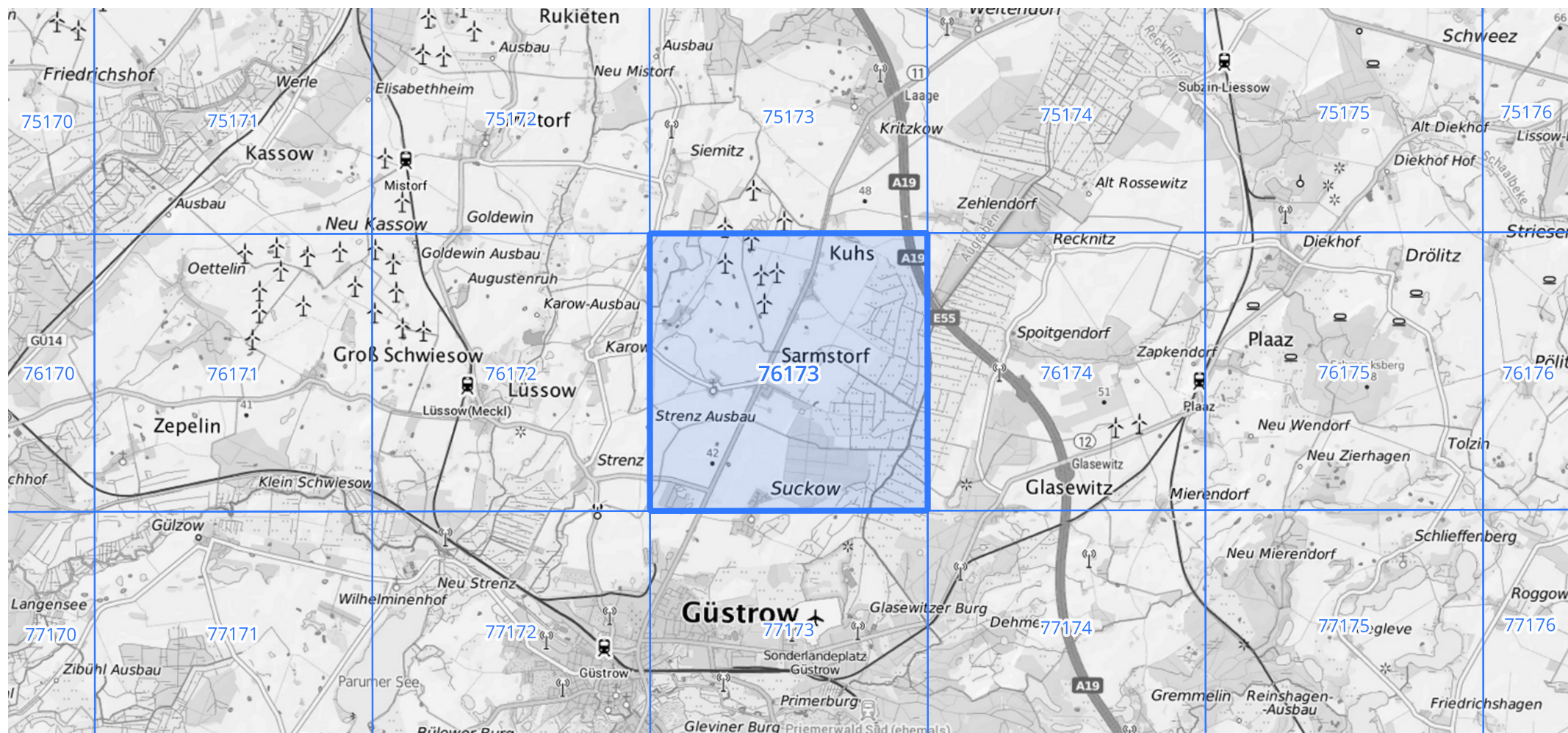
Siehe auch Anwendungshilfe zu KOSTRA-DWD-2020 des Deutschen Wetterdienstes.

Starkniederschlagshöhen und -spenden gemäß KOSTRA-DWD-2020

Rasterfeld 76173

(Zeile 76, Spalte 173)

Übersichtskarte des Rasterfeldes 76173, M 1 : 100 000



Quelle Rasterdaten: KOSTRA-DWD-2020 des Deutschen Wetterdienstes, Stand 12/2022.

Seite 3 von 3

Kartendarstellung: © Bundesamt für Kartographie und Geodäsie (2023), Datenquellen: https://sgx.geodatenzentrum.de/web_public/gdz/datenquellen/Datenquellen_TopPlusOpen.html

Für die Richtigkeit und Aktualität der Angaben wird keine Gewähr übernommen. Erstellt 01/2023.